

Implementação eficiente de criptografia de curvas elípticas em sensores sem fio

Diego Aranha, Danilo Câmara, Julio López,
Leonardo Oliveira, Ricardo Dahab

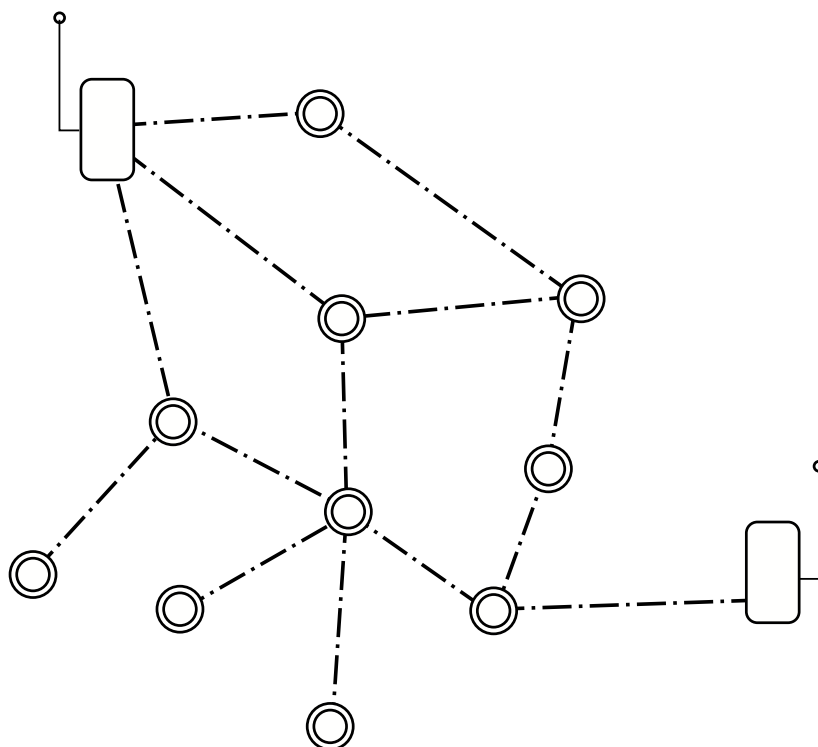
Instituto de Computação - UNICAMP
Financiado por FAPESP, processo 2007/06950-0.

D. Aranha, D. Câmara, J. López, L. Oliveira, R. Dahab

Implementação eficiente de ECC em sensores em fio

Redes de sensores sem fio

Uma rede de sensores sem fio é uma rede *ad hoc* de dispositivos configurados para realizar monitoramento cooperativo.



D. Aranha, D. Câmara, J. López, L. Oliveira, R. Dahab

Implementação eficiente de ECC em sensores em fio

Desafio

Proteger uma rede de sensores sem fio, onde os nós são escassos em recursos e de natureza descartável.

Contribuições

- Implementação eficiente de aritmética no corpo $\mathbb{F}_{2^{163}}$;
- Implementação eficiente de criptografia de curvas elípticas.

A plataforma



Características do MICAz Mote:

- Processador ATMega128, 7.3828 MHz;
- 4KB memória RAM, 128KB memória ROM;
- *Pipeline* de 2 estágios;
- Alto custo de instruções de acesso à memória.

Tabela: Tempos publicados para a multiplicação de ponto em um MICAz Mote para o nível de segurança de 160 *bits*.

Corpo	Trabalho	Tempo de execução (s)
Binário	[Malan et al. 2004]	34
	[Yan and Shi 2006]	13.9
	[Eberle et al. 2005]	4.14
	[Szczechowiak et al. 2008]	2.16
	[Seo et al. 2008]	1.14
Primo	[Wang and Li 2006]	1.35
	[Szczechowiak et al. 2008]	1.27
	[Gura et al. 2004]	0.81
	[Uhsadel et al. 2007]	0.76
	[GrobSchadl 2006]	0.745

Frases para lembrar...

*“In this paper we consider only prime integer fields since binary polynomial field arithmetic, specifically multiplication, is **insufficiently supported** by current microprocessors and would thus lead to **lower performance.**”*

*“This is not the case for arithmetic operations over fields $GF(2^m)$. Though these operations could be implemented in hardware rather efficiently, executing them on standard processors is **prohibitively slow.**”*

Uma *curva elíptica binária* é o conjunto de soluções $(x, y) \in \mathbb{F}_{2^m} \times \mathbb{F}_{2^m}$ que satisfazem a equação

$$y^2 + xy = x^3 + ax^2 + b,$$

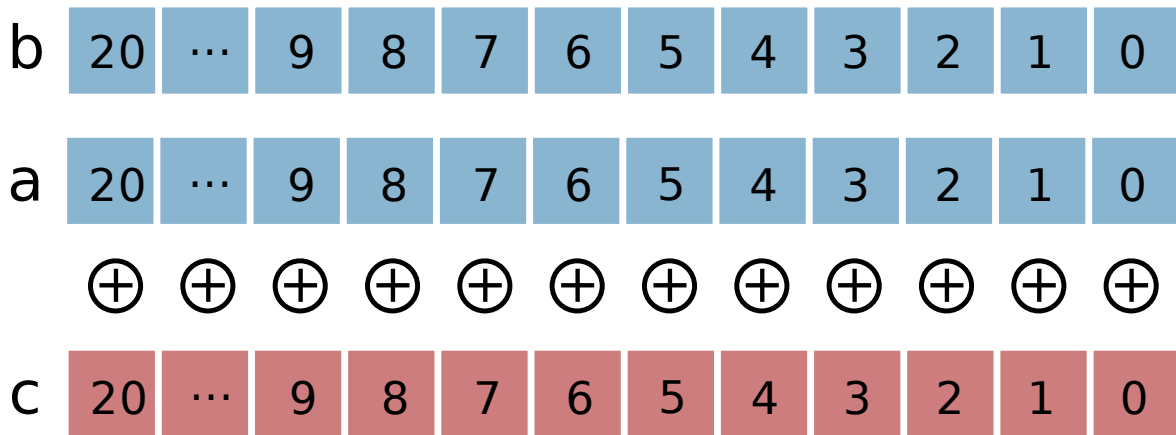
onde $a, b \in \mathbb{F}_{2^m}$ com $b \neq 0$, e um *ponto no infinito* ∞ .

O conjunto de pontos sob a operação $+$ (secante e tangente) forma um grupo aditivo. A *multiplicação de ponto* é definida pela relação de recorrência:

$$kP = \begin{cases} \infty, & \text{se } k = 0; \\ (-k)(-P) & \text{se } k \leq -1; \\ (k-1)P + P & \text{se } k \geq 1. \end{cases}$$

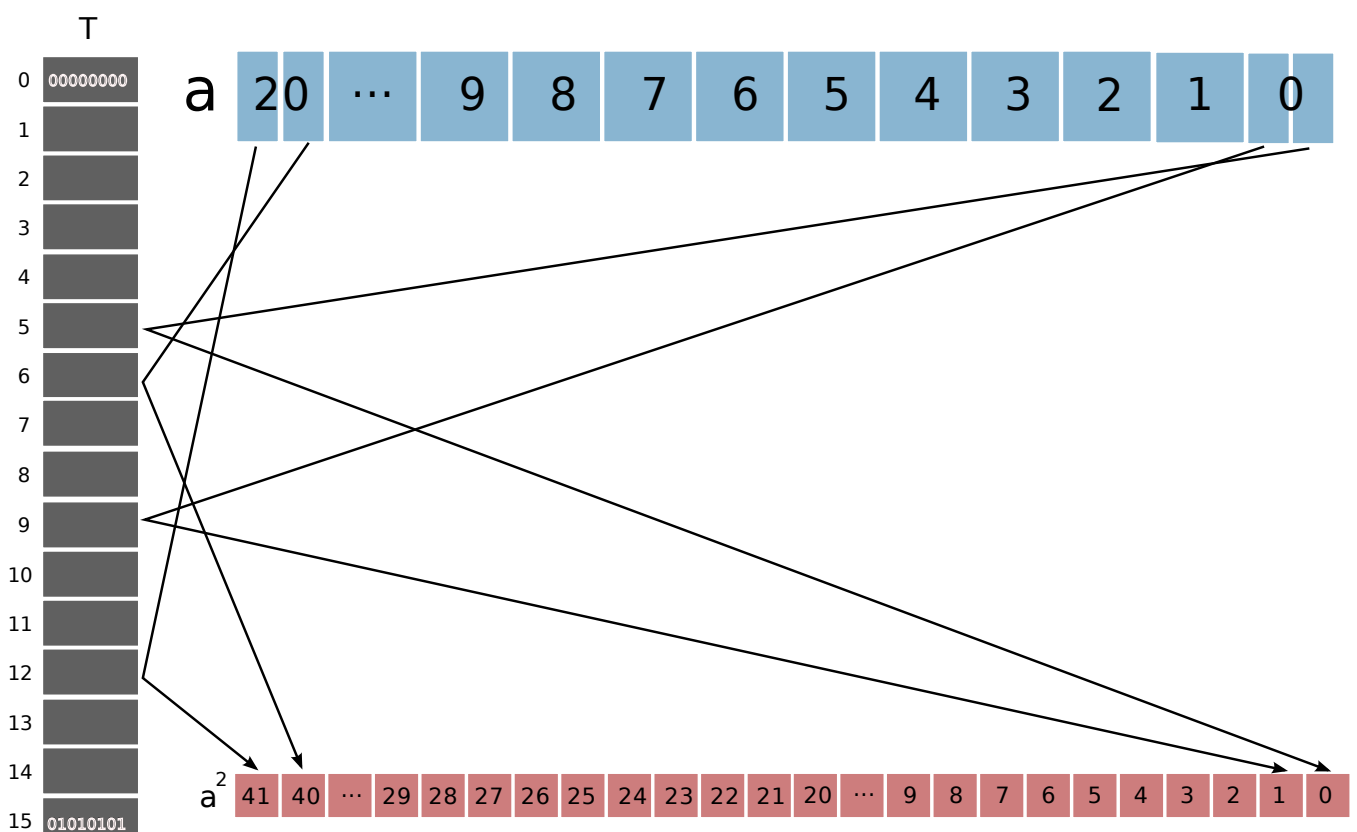
Corpo finito \mathbb{F}_{2^m}

- Base polinomial: $a(z) \in \mathbb{F}_{2^m} = \sum_{i=0}^{m-1} a_i z^i$.
- Representação em *software*: vetor de $\lceil m/8 \rceil$ bytes.



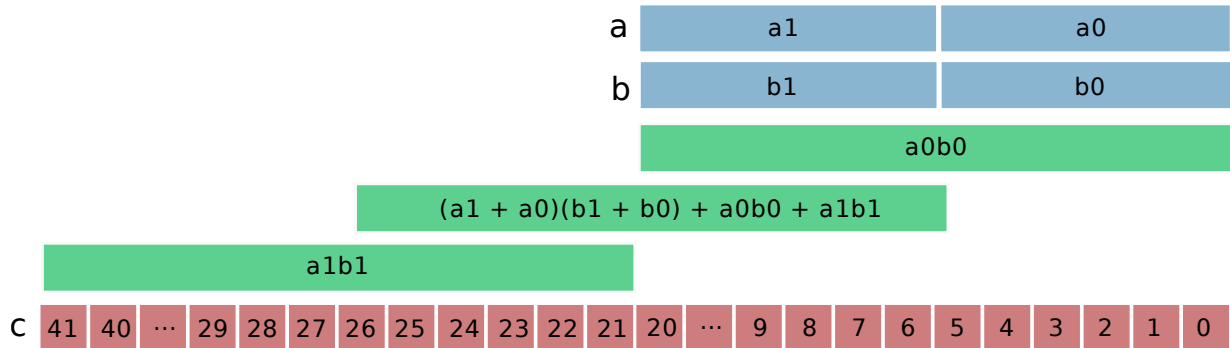
Quadrado em \mathbb{F}_{2^m}

$$a(z)^2 = \sum_{i=0}^{m-1} a_i z^{2i} = a_{m-1} z^{2m-2} + \dots + a_2 z^4 + a_1 z^2 + a_0$$

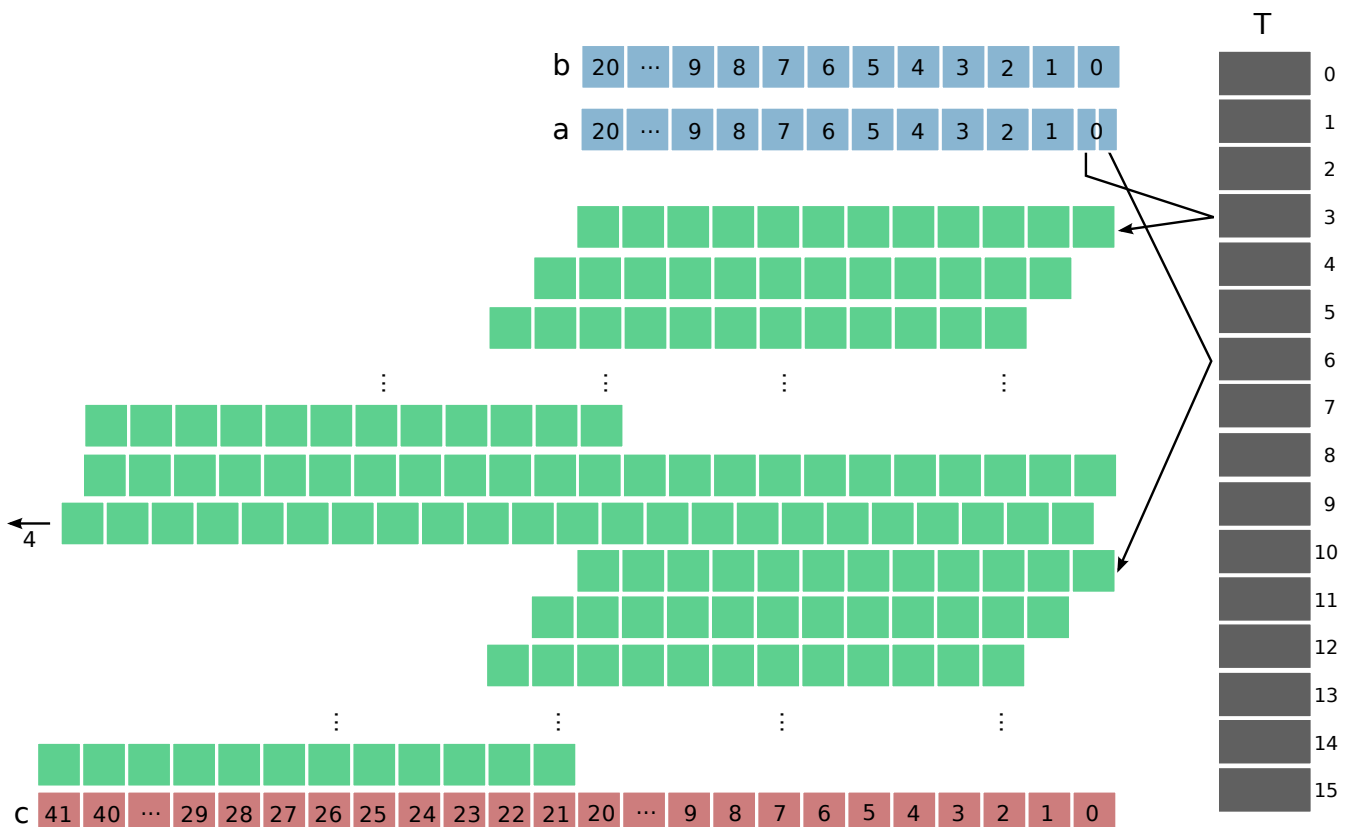


Multiplicação Karatsuba em \mathbb{F}_{2^m}

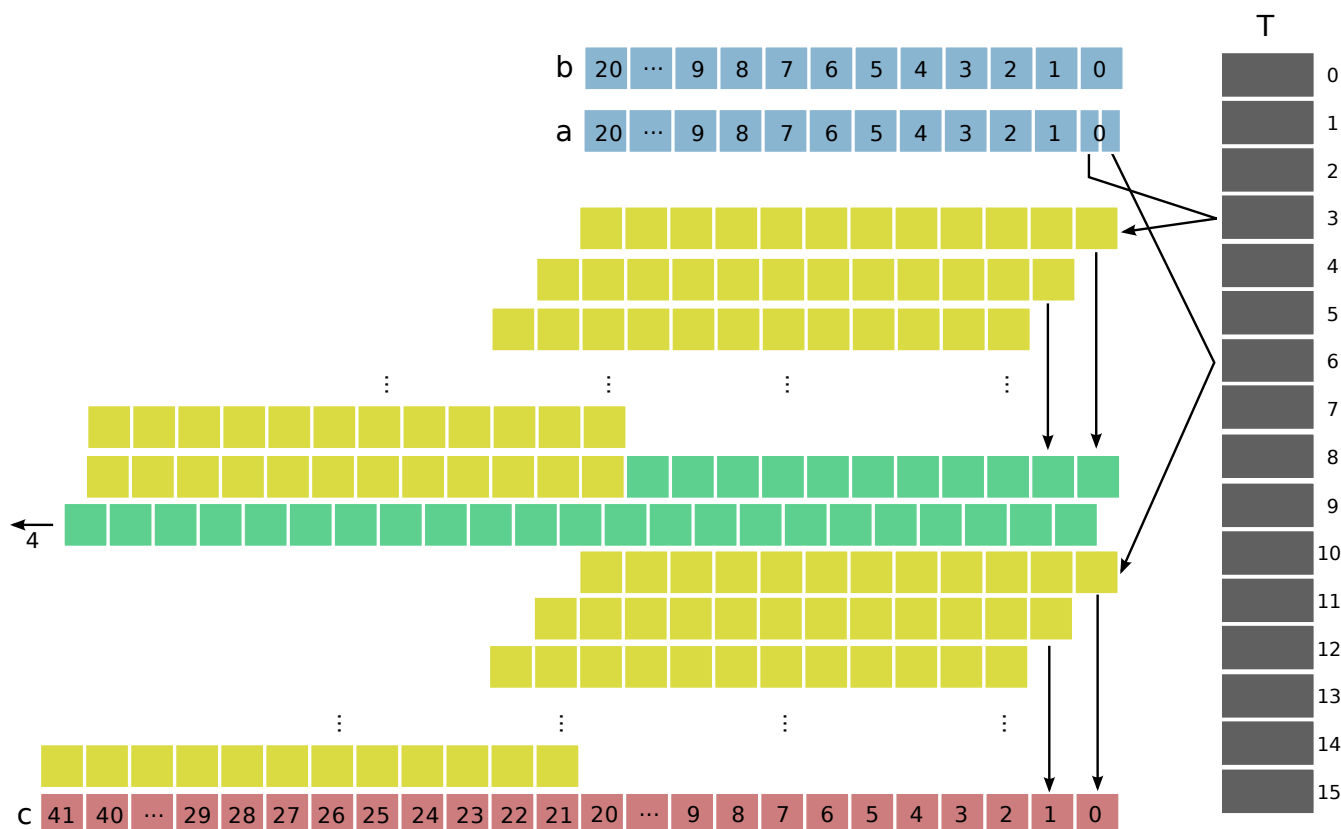
$$a(z)b(z) = a_1b_1z^m + [(a_1 + a_0)(b_1 + b_0) + a_1b_1 + a_0b_0]z^{m/2} + a_0b_0$$



Multiplicação López-Dahab em \mathbb{F}_{2^m}



Otimização proposta para Multiplicação López-Dahab



Análise da multiplicação em \mathbb{F}_{2^m}

Tabela: Custo em instruções dos algoritmos de multiplicação em \mathbb{F}_{2^m} .

Alg.	Instruções em função do número de palavras n		
	Leituras	Escritas	XOR
LD	$4n^2 + 9n - 1$	$2^t n + 2n^2 + 6n - 2$	$2n^2 + 13n$
LD reg.	$2n^2 + 4n - 1$	$2^t n + 5n - 1$	$2n^2 + 11n$
Karat+M	$11n + 3M(n/2)$	$7n + 3M(n/2)$	$4n + 3M(n/2)$

Algoritmo	Instruções em função de $n = 21$		
	Leituras	Escritas	XOR
López-Dahab	1952	1342	1155
LD com registradores	965	440	1113
Karatsuba+LD	1977	1593	1239
Karatsuba+LD com reg.	1086	837	1173

Algoritmo 1 Redução rápida para $f(z) = z^{163} + z^7 + z^6 + z^3 + 1$.

Entrada: $a(z) = a[0..2n - 1]$.

Saída: $c(z) = a(z) \bmod f(z)$.

```
1: for  $i \leftarrow 41$  to 21 do
2:    $t \leftarrow c[i]$ 
3:    $c[i - 21] \leftarrow c[i - 21] \oplus (t \ll 5)$ 
4:    $c[i - 20] \leftarrow c[i - 20] \oplus (t \ll 4) \oplus (t \gg 3) \oplus t \oplus (t \gg 3)$ 
5:    $c[i - 19] \leftarrow c[i - 19] \oplus (t \gg 4) \oplus (t \gg 5)$ 
6: end for
7:  $t \leftarrow c[20] \gg 3$ 
8:  $c[0] \leftarrow c[0] \oplus (t \ll 7) \oplus (t \ll 6) \oplus (t \ll 3) \oplus t$ 
9:  $c[1] \leftarrow c[1] \oplus (t \gg 1) \oplus (t \gg 2)$ 
10:  $c[20] \leftarrow c[20] \& 0x07$ 
11: return  $c$ 
```

Otimização para redução modular

Algoritmo 2 Otimização proposta para redução modular rápida.

Entrada: $a(z) = a[0..2n - 1]$.

Saída: $c(z) = a(z) \bmod f(z)$.

```
1:  $r_b \leftarrow 0, r_c \leftarrow 0$ 
2:  $i \leftarrow 21, j \leftarrow 40$ 
3: while  $i > 3$  do
4:    $R(r_b, r_c, r_a, c[j]), c[i] \leftarrow c[i] \oplus r_b$ 
5:    $R(r_c, r_a, r_b, c[j - 1]), c[i - 1] \leftarrow c[i - 1] \oplus r_c$ 
6:    $R(r_a, r_b, r_c, c[j - 2]), c[i - 2] \leftarrow c[i - 2] \oplus r_a$ 
7:    $i \leftarrow i - 3, j \leftarrow j - 3$ 
8: end while
9:  $R(r_b, r_c, r_a, c[22]), c[3] \leftarrow c[3] \oplus r_b$ 
10:  $R(r_c, r_a, r_b, c[21]), c[2] \leftarrow c[2] \oplus r_c$ 
11:  $c[1] \leftarrow c[1] \oplus r_a$ 
12:  $c[0] \leftarrow c[0] \oplus r_b$ 
13: return  $c$ 
```

Tabela: Custo em instruções dos algoritmos de redução modular.

Algoritmo	Instruções executadas	
	Leituras	Escritas
Original	88	66
Otimização	42	22

Inversão em \mathbb{F}_{2^m}

Duas alternativas:

- Algoritmo Estendido de Euclides;
- Modificação do Algoritmo de Quase Inverso.

Segundo algoritmo executa apenas deslocamentos de **1 bit!**

A multiplicação de ponto foi implementada com os algoritmos:

- 4-TNAF em curvas de Koblitz;
- Método López-Dahab em curvas binárias genéricas.

Implementação

Material:

- GCC 4.1.2 para ATMega128;
- MIRACL;
- AVR Simulator 4.14.

Linguagens:

- C;
- *Assembly*.

Curvas padronizadas:

- Curva de Koblitz sect163k1;
- Curva binária genérica sect163r2.

Tabela: Custo dos algoritmos de aritmética em $\mathbb{F}_{2^{163}}$.

	C	<i>Assembly</i>	Ganho
Algoritmo	Ciclos	Ciclos	%
Quadrado	725	456	37
Mult. LD com reg.	13838	5433	60
Mult. LD (variante)	9752	9120	6
Mult. Karat+LD com reg.	12246	6968	43
Redução Modular	621	609	2
Inversão	365658	231258	36

Tabela: Custo da multiplicação de ponto.

	C	<i>Assembly</i>	Ganho
Algoritmo	Tempo (s)	Tempo (s)	%
4-TNAF na curva sect163k1	0.95	0.69	27
LD na curva sect163k1	1.30	0.83	36
LD na curva sect163r2	1.60	0.98	39

Comparação - Eficiência

Tabela: Comparação entre implementações distintas. Os tempos são fornecidos em quantidades de ciclos (c) ou segundos (s).

Algoritmo	Proposta				TinyECCK
	Linguagem C		Assembly		C
	Tempo	Ganho	Tempo	Ganho	Tempo
Quadrado	725 c	12%	456 c	45%	825 c
Multiplicação	9752 c	51%	5433 c	72%	19670 c
Redução	621 c	67%	609 c	68%	1904 c
Inversão	365658 c	32%	231258 c	57%	539132 c
4-TNAF	0.95 s	17%	0.69 s	39%	1.14 s
LD sect163k1	1.30 s	-12%	0.83 s	27%	–
LD sect163r2	1.60 s	-29%	0.98 s	14%	–

Comparação - Memória

Tabela: Custo em *bytes* de memória para implementações distintas.

	Memória ROM	Memória RAM
4-TNAF - versão C	26668	48
4-TNAF - versão C+Assembly	32392	624
LD - versão C	10714	16
LD - versão C+Assembly	16438	528
TinyECCK	5592	618

Novo estado-da-arte para implementação de ECC em sensores:

- Implementação eficiente de aritmética no corpo $\mathbb{F}_{2^{163}}$:
 - Implementações mais eficientes de quadrado, multiplicação e redução modular já publicadas para a plataforma;
- Implementação eficiente de criptografia de curvas elípticas:
 - Multiplicação de ponto 39% mais rápida que a melhor implementação binária;
 - Multiplicação de ponto 7% mais rápida que a melhor implementação prima.

Trabalho futuro: implementação de emparelhamentos!

Conclusões

Corpo	Trabalho	Tempo de execução (s)
Binário	[Malan et al. 2004]	34
	[Yan and Shi 2006]	13.9
	[Eberle et al. 2005]	4.14
	[Szczechowiak et al. 2008]	2.16
	[Seo et al. 2008]	1.14
	Proposta	0.69
Primo	[Wang and Li 2006]	1.35
	[Szczechowiak et al. 2008]	1.27
	[Gura et al. 2004]	0.81
	[Uhsadel et al. 2007]	0.76
	[GrobSchadl 2006]	0.745